

伸縮脚式二足歩行ロボットの試作

奥山 佳史・草野 兼光*・岩花 善衛・山根 茂典

生産機械工学科・*(現)日立造船(株)

(1985年9月3日受理)

Development of a Biped Locomotion Robot with Expanding and Contracting Legs

by

Yoshifumi OKUYAMA, Kanemitsu KUSANO*, Zen'ei IWAHANA
and Shigenori YAMANE

Department of Mechanical Engineering

* Hitachi Zosen Co., Ltd.

(Received September 3, 1985)

This paper describes a development of a dynamic biped locomotion robot (MW-2), which has expanding and contracting legs and no knee joints. The equation of motion for the model having the four degrees of freedom is derived for the single support phase, which is constrained in sagittal plane. The model can be approximated to a inverted pendulum and the control method is discussed on the basis of the approximated model. The computer simulations have proved the validity of the control action.

The control algorithm is implemented using minicomputer, and walking motion of three or more steps has been realized.

1 はじめに

人間あるいは鳥類の歩行に見られる動的二足歩行は、制御理論的には不安定平衡点のまわりでの運動を支持脚交換により安定な系に変換するという、非線形不連続制御系といえ、これを機械で製作し人工的にそれを実現させる事は、非常に興味あるテーマであり、これまでもいくつかの研究の結果が発表されている^{1) - 5)}。

それらの研究における二足歩行モデルとしては、人間の脚・胴体部分をモデル化した5リンクのモデルが用いられることが多い^{3) 4)}。しかし、膝関節は人間の歩行をなるべく忠実にシミュレートするという目的には必要ではあるが、二足歩行にとって本質的ではなく、膝なしモデルが用いられることもある⁵⁾。機械的な実現性を考慮すれば、膝関節を設けることは重量の点で不利であり、膝なしモデルのほうが適当である。そこで本研究では脚を伸縮式とした竹馬形膝なし二足歩行モデルによる歩行ロボットを試作し、動的歩行の実現を目指すこととした。今回、試作2号機において、断続的ながら3歩以上の歩行に成功したので、その機構、制御方法、歩行実験結果等について報告する。

2 Mechanical Walker (MW-2) の構造

試作2号機 Mechanical Walker 2 (以下 MW-2) は、さきに製作した1号機 (MW-1)⁶⁾ と原理的に同じ機構を有する伸縮脚式膝なし二足歩行ロボットであり、時定数を大きくし計算機負荷を軽減するため脚長を45 (cm) から人間とはほぼ同じ75 (cm) と大型化した歩行機械である (Photo.2.1)。その脚の開閉は1台のモータの出力をかき歯車により両脚に振り分けることにより、また、脚の伸縮はモータの回転運動をラック&ピニオンにより直進運動に変換することにより行っている。また足部は1本歯の高げた状であり、前後(進行)方向に対しては足首トルクは働かなく、竹馬型歩行となる。左右方向に対しては左右の足部に重なりを持たせることにより片脚で自立できる。なお使用モータは脚開閉、伸縮共に24(W) DCモータである。

また、外部の固定された座標に対するロボットの姿勢を検出するため、足部に接地検出スイッチを設け、さらに脚下部にポテンショメータを取付け、それよりひげ状の針金を床面に延ばし、床面との角度を測定できるようにした。

MW-2 の設計に当っては、軽量化、特に脚部の質量を軽減し、さらに上部に質量を集中することに留意した。脚は直径17(mm)のアルミ製円筒パイプであり、足部は鋼鉄製で足幅は約34(cm)である。以上の結果、脚部の剛性にやや不満が残るものの、全質量 6.4(kg)、重心は主軸より約 6(cm)下となりほぼ目標を達成したといえる。

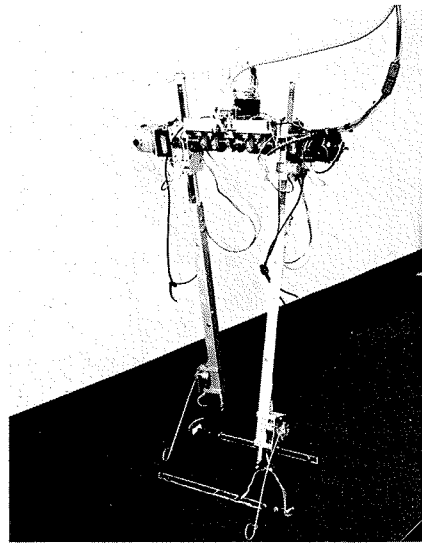


Photo.2.1 Mechanical Walker 2

3 MW-2 の動力学的解析

3.1 運動方程式

MW-2 の動力学的解明のため、およびシミュレーションにより動作の確認を行うため、運動方程式を求める。各部は全て剛体より成っているとし、MW-2 の動作は進行方向に平行な鉛直面 (sagittal plane) に拘束されていると仮定する。さらに各結合部の動きは滑らかであり摩擦等はないとする。二足歩行は一般に次の4つの相に分解され、それらの繰返しによって連続歩行が成立する⁵⁾。

- 1) 右脚支持相
- 2) 右脚支持から左脚支持への変換相 (両脚支持相)
- 3) 左脚支持相
- 4) 左脚支持から右脚支持への変換相 (両脚支持相)

本節では、1) 右脚支持相における運動方程式を求める。2) および4) の両脚支持相においては動作は非常にゆっ

くりと準静的に行われるものとし、ここでは運動の解析は行わない。

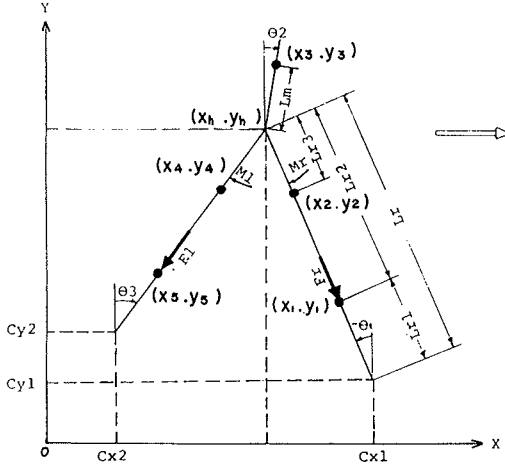


Fig.3.1 Biped locomotion model

まず始めに 自由落下状態に置かれたモデルを Fig. 3.1に示し, Lagrangeの方程式により解析する. この系において, 自由度は6であり, 系の状態は $\theta_1, \theta_3, L_{r2}, L_{12}, x_h, y_h$ により規定され, また操作力は, 股トルク M , 脚伸縮力 F_r, F_l である. 主軸の座標を (x_h, y_h) とすると各要素の重心の座標は,

$$\begin{aligned} x_1 &= x_h - L_{r2} \sin \theta_1, & y_1 &= y_h - L_{r2} \cos \theta_1 \\ x_2 &= x_h - L_{r3} \sin \theta_1, & y_2 &= y_h - L_{r3} \cos \theta_1 \\ x_3 &= x_h + L_m \sin \theta_2, & y_3 &= y_h + L_m \cos \theta_2 \\ x_4 &= x_h - L_{13} \sin \theta_3, & y_4 &= y_h - L_{13} \cos \theta_3 \\ x_5 &= x_h - L_{12} \sin \theta_3, & y_5 &= y_h - L_{12} \cos \theta_3 \end{aligned} \quad (3.1)$$

ここで,

$$\theta_2 = \frac{\theta_1 + \theta_3}{2}, \quad M = M_r - M_l \quad (3.2)$$

である. 運動エネルギーを E_k , ポテンシャル・エネルギーを E_p , 非保存力による仮想仕事を W とすれば E_k, E_p, W は以下ようになる.

$$\begin{aligned} E_k &= \frac{1}{2} (m_1 + m_2 + m_3 + m_4 + m_5) (\dot{x}_h^2 + \dot{y}_h^2) \\ &+ \frac{1}{2} (m_1 L_{r2}^2 + m_2 L_{r3}^2 + I_1 + I_2) \dot{\theta}_1^2 \end{aligned} \quad \nearrow$$

$$\begin{aligned} &+ \frac{1}{8} (m_3 L_m^2 + I_3) (\dot{\theta}_1^2 + 2\dot{\theta}_1 \dot{\theta}_3 + \dot{\theta}_3^2) \\ &+ \frac{1}{2} (m_4 L_{13}^2 + m_5 L_{12}^2 + I_4 + I_5) \dot{\theta}_3^2 \\ &- (m_1 L_{r2} + m_2 L_{r3}) (\dot{x}_h \cos \theta_1 - \dot{y}_h \sin \theta_1) \dot{\theta}_1 \\ &+ m_3 L_m (\dot{x}_h \cos \frac{\theta_1 + \theta_3}{2} - \dot{y}_h \sin \frac{\theta_1 + \theta_3}{2}) \frac{\dot{\theta}_1 + \dot{\theta}_3}{2} \\ &- (m_4 L_{13} + m_5 L_{12}) (\dot{x}_h \cos \theta_3 - \dot{y}_h \sin \theta_3) \dot{\theta}_3 \\ &- m_1 L_{r2} (\dot{x}_h \sin \theta_1 + \dot{y}_h \cos \theta_1) \\ &- m_5 L_{r2} (\dot{x}_h \sin \theta_3 + \dot{y}_h \cos \theta_3) \\ &+ \frac{1}{2} m_1 L_{12}^2 + \frac{1}{2} m_5 L_{12}^2 \end{aligned} \quad (3.3)$$

$$\begin{aligned} E_p &= (m_1 + m_2 + m_3 + m_4 + m_5) g y_h - m_1 g L_{r2} \cos \theta_1 - m_2 g L_{r3} \cos \theta_1 \\ &+ m_3 g L_m \cos \frac{\theta_1 + \theta_3}{2} - m_4 g L_{13} \cos \theta_3 - m_5 g L_{12} \cos \theta_3 \end{aligned} \quad (3.4)$$

$$W = M \frac{\Delta \theta_1 - \Delta \theta_3}{2} + F_r \Delta L_{r2} + F_l \Delta L_{12} \quad (3.5)$$

(3.3)~(3.5)式を Lagrange の運動方程式

$$\frac{d}{dt} \left(\frac{\partial L}{\partial \dot{\theta}} \right) - \frac{\partial L}{\partial \theta} = \frac{\partial W}{\partial \Delta \theta} \quad (3.6)$$

ここで, $L = E_k - E_p$
 $\theta = (\theta_1, \theta_3, L_{r2}, L_{12}, x_h, y_h)^T$

に代入することにより, 次式の自由落下中のモデルの運動方程式が導かれる.

$$P \ddot{\theta} + Q \dot{\theta} + R \theta + S = F \quad (3.7)$$

ここで, $\ddot{\theta} = (\ddot{\theta}_1, \ddot{\theta}_3, \ddot{L}_{r2}, \ddot{L}_{12}, \ddot{x}_h, \ddot{y}_h)^T$

$$\dot{\theta}^2 = (\dot{\theta}_1, \dot{\theta}_3)^T$$

$$\theta_6 = (\theta_1, \theta_3, L_{r2} \dot{\theta}_1, L_{12} \dot{\theta}_3)^T$$

$$P = (p_{ij}) \in \mathbb{R}^{6 \times 6}, \quad Q = (q_i) \in \mathbb{R}^{6 \times 2}, \quad R = (r_{ij}) \in \mathbb{R}^{6 \times 3}$$

$$S = (s_i) \in \mathbb{R}^6, \quad F = (f_i) \in \mathbb{R}^6$$

$$p_{11} = m_1 L_{r2}^2 + m_2 L_{r3}^2 + m_3 L_m^2 + 4I_1 + I_2 + I_3 / 4$$

$$p_{12} = (m_3 L_m^2 + I_m) / 4$$

$$p_{15} = -(m_1 L_{r2} + m_2 L_{r3}) \cos \theta_1 + (1/2) m_3 L_m \cos \theta_2$$

$$p_{16} = (m_1 L_{r2} + m_2 L_{r3}) \sin \theta_1 - (1/2) m_3 L_m \sin \theta_2$$

$$p_{21} = (m_3 L_m^2 + I_3) / 4$$

$$\begin{aligned}
P_{22} &= m_4 L_{13}^2 + m_5 L_{12}^2 + m_3 L_m^2 / 4 + I_3 / 4 + I_4 + I_5 \\
P_{25} &= -(m_4 L_{13} + m_5 L_{12}) \cos \theta_3 + (1/2) m_3 L_m \cos \theta_2 \\
P_{26} &= (m_4 L_{13} + m_5 L_{12}) \sin \theta_3 - (1/2) m_3 L_m \sin \theta_2 \\
P_{33} &= m_1 \\
P_{35} &= -m_1 \sin \theta_1 \\
P_{36} &= -m_1 \cos \theta_1 \\
P_{44} &= m_5 \\
P_{45} &= -m_5 \sin \theta_3 \\
P_{46} &= -m_5 \cos \theta_3 \\
P_{51} &= -(m_1 L_{r2} + m_2 L_{r3}) \cos \theta_1 + (1/2) m_3 L_m \cos \theta_2 \\
P_{52} &= -(m_4 L_{13} + m_5 L_{12}) \cos \theta_3 + (1/2) m_3 L_m \cos \theta_2 \\
P_{53} &= -m_1 \sin \theta_1 \\
P_{54} &= -m_5 \sin \theta_3 \\
P_{55} &= m_1 + m_2 + m_3 + m_4 + m_5 \\
P_{56} &= (m_1 L_{r2} + m_2 L_{r3}) \sin \theta_1 - (1/2) m_3 L_m \sin \theta_2 \\
P_{62} &= (m_4 L_{13} + m_5 L_{12}) \sin \theta_3 - (1/2) m_3 L_m \sin \theta_2 \\
P_{63} &= -m_1 \cos \theta_1 \\
P_{64} &= -m_5 \cos \theta_3 \\
P_{65} &= m_1 + m_2 + m_3 + m_4 + m_5 \\
Q_{31} &= -m_1 L_{r2} \\
Q_{42} &= -m_5 L_{12} \\
Q_{51} &= (m_1 L_{r2} + m_2 L_{r3}) \sin \theta_1 - (1/4) m_3 L_m \sin \theta_2 \\
Q_{52} &= (m_4 L_{13} + m_5 L_{12}) \sin \theta_3 - (1/4) m_3 L_m \sin \theta_2 \\
Q_{54} &= (m_1 L_{r2} + m_2 L_{r3}) \cos \theta_1 - (1/4) m_3 L_m \cos \theta_2 \\
Q_{62} &= (m_4 L_{13} + m_5 L_{12}) \cos \theta_3 - (1/4) m_3 L_m \cos \theta_2 \\
r_{12} &= 2m_1 L_{r2} \\
r_{23} &= 2m_5 L_{12} \\
r_{51} &= -(1/2) m_3 L_m \sin \theta_2 \\
r_{52} &= -2m_1 \cos \theta_1 \\
r_{53} &= -2m_5 \cos \theta_3 \\
r_{61} &= -(1/2) m_3 L_m \cos \theta_2 \\
r_{62} &= 2m_1 \sin \theta_1 \\
r_{63} &= 2m_5 \sin \theta_3 \\
s_1 &= (m_1 L_{r2} + m_2 L_{r3}) g \sin \theta_1 - (1/2) m_3 g L_m \sin \theta_2 \\
s_2 &= (m_4 L_{13} + m_5 L_{12}) g \sin \theta_3 - (1/2) m_3 g L_m \sin \theta_2 \\
s_3 &= -m_1 g \cos \theta_1 \\
s_4 &= -m_5 g \cos \theta_3 \\
s_5 &= 0 \\
s_6 &= (m_1 + m_2 + m_3 + m_4 + m_5) g \\
f_1 &= M/2 \\
f_2 &= -M/2 \\
f_3 &= F_r \\
f_4 &= F_l
\end{aligned}$$

other terms=0

次に片脚支持（右脚支持）の場合の運動方程式を求め
る。ロボットを支持する床は十分堅くて変形は0である
とする。また床と足との間には十分な摩擦が働き滑り
はないと仮定する。このとき拘束条件は次式で与えられる。

$$\begin{aligned}
f_1 &= x_h - (L_{r2} + L_{r1}) \sin \theta_1 = 0 \\
f_2 &= y_h - (L_{r2} + L_{r1}) \cos \theta_1 = 0
\end{aligned} \quad (3.8)$$

拘束のある動的システムは一般に未定乗数 λ を用いて
次のように記述される。

$$P\ddot{\theta} + Q\dot{\theta}^2 + R\theta_s + S = F + E\lambda \quad (3.9)$$

ここで、

$$E = \begin{bmatrix} \frac{\partial f_1}{\partial \theta_1} & \frac{\partial f_1}{\partial \theta_3} & \frac{\partial f_1}{\partial L_{r2}} & \frac{\partial f_1}{\partial L_{12}} & \frac{\partial f_1}{\partial x_h} & \frac{\partial f_1}{\partial y_h} \\ \frac{\partial f_2}{\partial \theta_1} & \frac{\partial f_2}{\partial \theta_3} & \frac{\partial f_2}{\partial L_{r2}} & \frac{\partial f_2}{\partial L_{12}} & \frac{\partial f_2}{\partial x_h} & \frac{\partial f_2}{\partial y_h} \end{bmatrix}^T \\
\lambda = (\lambda_1, \lambda_2)^T$$

上式より λ_1, λ_2 および x_h, y_h を消去すれば次式の運
動方程式が得られる。

$$P_c \ddot{\theta}_c + Q_c \dot{\theta}_c^2 + R_c \theta_s + S_c = F_c \quad (3.10)$$

ここで、 $\dot{\theta}_c = (\dot{\theta}_1, \dot{\theta}_3, \dot{L}_{r2}, \dot{L}_{12})^T$

$P_c = (p_{ij}') \in R^{4 \times 4}, Q_c = (q_{ij}') \in R^{4 \times 2}, R_c = (r_{ij}') \in R^{4 \times 3}$
 $S_c = (s_i') \in R^4, F_c = (f_i') \in R^4$

$$\begin{aligned}
P_{11}' &= (m_1 + m_2 + m_3 + m_4 + m_5) (L_{r1} + L_{r2})^2 + (m_1 L_{r2}^2 + m_2 L_{r3}^2 + I_1 + I_2) \\
&\quad - 2(m_1 L_{r2} + m_2 L_{r3}) (L_{r1} + L_{r2}) + (1/2) m_3 L_m (L_{r1} + L_{r2}) \\
&\quad \cos \theta_1 + (1/2) m_3 L_m (L_{r1} + L_{r2}) \cos(\theta_1 - \theta_2) \\
&\quad + (1/4) (m_3 L_m^2 + I_3) \\
P_{12}' &= -(m_4 L_{13} + m_5 L_{12}) (L_{r1} + L_{r2}) \cos(\theta_1 - \theta_3) \\
&\quad + (1/2) m_3 L_m (L_{r1} + L_{r2}) \cos(\theta_1 - \theta_2) + (1/4) (m_3 L_m^2 + I_3) \\
P_{13}' &= (1/2) m_3 L_m \sin(\theta_1 - \theta_2) \\
P_{14}' &= m_5 (L_{r1} + L_{r2}) \sin(\theta_1 - \theta_3) \\
P_{21}' &= -(m_4 L_{13} + m_5 L_{12}) (L_{r1} + L_{r2}) \cos(\theta_1 - \theta_3) \\
&\quad + (1/4) (m_3 L_m^2 + I_3) \\
P_{22}' &= m_4 L_{13}^2 + m_5 L_{12}^2 + I_4 + I_5 + (1/4) (m_3 L_m^2 + I_3) \\
P_{23}' &= -(m_4 L_{13} + m_5 L_{12}) \sin(\theta_1 - \theta_3) \\
&\quad + (1/2) m_3 L_m \sin(\theta_1 - \theta_2) \\
P_{31}' &= (1/2) m_3 L_m \sin(\theta_1 - \theta_2) \\
P_{32}' &= -(m_3 L_{13} + m_5 L_{12}) \sin(\theta_1 - \theta_3) \\
&\quad + (1/2) m_3 L_m \sin(\theta_1 - \theta_2) \\
P_{33}' &= m_2 + m_3 + m_4 + m_5 \\
P_{34}' &= -m_5 \cos(\theta_1 - \theta_3) \\
P_{41}' &= m_5 (L_{r1} + L_{r2}) \sin(\theta_1 - \theta_3) \\
P_{43}' &= -m_5 \cos(\theta_1 - \theta_3) \\
P_{44}' &= m_5 \\
Q_{11}' &= (1/4) m_3 L_m (L_{r1} + L_{r2}) \sin(\theta_1 - \theta_2) \\
&\quad - (1/2) m_3 L_m (L_{r1} + L_{r2}) \sin(\theta_1 - \theta_2)
\end{aligned}$$

$$\begin{aligned}
q_{12}' &= -(m_4 L_{13} + m_5 L_{12})(L_{r1} + L_{r2}) \sin(\theta_1 - \theta_3) \\
&\quad + (1/4) m_3 L_m (L_{r1} + L_{r2}) \sin(\theta_1 - \theta_2) \\
q_{21}' &= (m_4 L_{13} + m_5 L_{12})(L_{r1} + L_{r2}) \sin(\theta_1 - \theta_3) \\
&\quad - (1/2) m_3 L_m (L_{r1} + L_{r2}) \sin(\theta_1 - \theta_2) \\
q_{31}' &= m_2 L_{r3} - (m_2 + m_3 + m_4 + m_5)(L_{r2} + L_{r1}) \\
&\quad - (1/4) m_3 L_m \cos(\theta_1 - \theta_2) \\
q_{32}' &= (m_4 L_{13} + m_5 L_{12}) \cos(\theta_1 - \theta_3) \\
&\quad - (1/4) m_3 L_m \cos(\theta_1 - \theta_2) \\
q_{41}' &= m_5 (L_{r1} + L_{r2}) \cos(\theta_1 - \theta_3) \\
q_{42}' &= -m_5 L_{12} \\
r_{11}' &= (1/2) m_3 L_m (L_{r1} + L_{r2}) \sin(\theta_1 - \theta_2) \\
r_{12}' &= 2 \{ (m_2 + m_3 + m_4 + m_5)(L_{r1} + L_{r2}) - m_2 L_{r3} \} \\
&\quad + m_3 L_m \cos(\theta_1 - \theta_2) \\
r_{13}' &= -2m(L_{r1} + L_{r2}) \cos(\theta_1 - \theta_3) \\
r_{22}' &= -2(m_4 L_{13} + m_5 L_{12}) \cos(\theta_1 - \theta_3) + m_3 L_m \cos(\theta_1 - \theta_2) \\
r_{23}' &= 2m_5 L_{12} \\
r_{31}' &= -(1/2) m_3 L_m \cos(\theta_1 - \theta_2) \\
r_{33}' &= -2m_5 \sin(\theta_1 - \theta_3) \\
r_{42}' &= 2m_5 \sin(\theta_1 - \theta_3) \\
s_1' &= \{ -(m_1 + m_2 + m_3 + m_4 + m_5)g(L_{r1} + L_{r2}) + m_2 L_{r3} g + m_1 L_{r2} g \} \\
&\quad \sin \theta_1 - (1/2) m_3 L_m g \sin \theta_2 \\
s_2' &= (m_4 L_{13} + m_5 L_{12}) g \sin \theta_3 - (1/2) m_3 L_m g \sin \theta_2 \\
s_3' &= (m_2 + m_3 + m_4 + m_5) g \cos \theta_1 \\
s_4' &= -m_5 g \cos \theta_3 \\
f_1' &= M/2 \\
f_2' &= -M/2 \\
f_3' &= F_r \\
f_4' &= F_l \\
\text{other terms} &= 0
\end{aligned}$$

3.2 線形近似モデルによる解析

(3.10)式において、 $\theta_c = (\theta_1, \theta_3, L_{r2}, L_{12})$ とおき、 $\theta_c = (0, 0, 0.465, 0.465)$ 、 $\dot{\theta}_c = 0$ の近傍において線形化し、各諸元を代入すれば次の微分方程式が得られる。

$$\begin{aligned}
A \ddot{\theta}_c + B \dot{\theta}_c &= F \quad (3.11) \\
A &= \begin{bmatrix} a_{11} & a_{12} & 0 & 0 \\ a_{21} & a_{22} & 0 & 0 \\ 0 & 0 & a_{33} & a_{34} \\ 0 & 0 & a_{43} & a_{44} \end{bmatrix} \quad B = \begin{bmatrix} b_{11} & b_{12} & 0 & 0 \\ b_{21} & b_{22} & 0 & 0 \\ 0 & 0 & 0 & 0 \\ 0 & 0 & 0 & 0 \end{bmatrix} \\
F &= (f_1 \ f_2 \ f_3 \ f_4)^T \\
a_{11} &= 3.38 \quad a_{33} = 5.61 \quad b_{11} = -43.8 \\
a_{12} &= -0.221 \quad a_{34} = -0.805 \quad b_{12} = -0.360 \\
a_{21} &= 0.226 \quad a_{43} = -0.805 \quad b_{21} = -0.360 \\
a_{22} &= 0.231 \quad a_{44} = 0.805 \quad b_{22} = 3.31 \\
f_1 &= M/2 \\
f_2 &= -M/2 \\
f_3 &= F_r - (m_2 + m_3 + m_4 + m_5)g \\
f_4 &= F_l + m_5 g
\end{aligned}$$

上式より明らかなように $\theta_1 = \theta_3 = 0$ の近傍においては、系は倒立振り子と振り子が結合した次式で記述される二重振り子系と、脚の伸縮に関する系の2つの系に分離される。

$$\begin{bmatrix} a_{11} & a_{12} \\ a_{21} & a_{22} \end{bmatrix} \begin{bmatrix} \dot{\theta}_1 \\ \dot{\theta}_3 \end{bmatrix} + \begin{bmatrix} b_{11} & b_{12} \\ b_{21} & b_{22} \end{bmatrix} \begin{bmatrix} \theta_1 \\ \theta_3 \end{bmatrix} = \begin{bmatrix} M/2 \\ -M/2 \end{bmatrix} \quad (3.12)$$

(3.12)式は $x = (x_1, x_2, x_3, x_4) = (\theta_1, \dot{\theta}_1, \theta_3, \dot{\theta}_3)$ とおき状態変数表示をすれば、次式となる。

$$\dot{x} = \begin{bmatrix} 0 & 1 & 0 & 0 \\ k_1 & 0 & -k_2 & 0 \\ 0 & 0 & 0 & 1 \\ k_3 & 0 & -k_4 & 0 \end{bmatrix} x + \begin{bmatrix} 0 \\ u_1^* \\ 0 \\ u_2^* \end{bmatrix} \quad (3.13)$$

$$\begin{aligned}
k_1 &= 14.0 \quad k_2 = 0.89 \quad k_3 = 15.2 \quad k_4 = 15.2 \\
u_1^* &= 0.007M \quad u_2^* = -2.1M
\end{aligned}$$

$k_2/k_1 = 0.064 \ll 1$ であるので、上式はさらに、

$$\begin{bmatrix} \dot{x}_1 \\ \dot{x}_2 \end{bmatrix} = \begin{bmatrix} 0 & 1 \\ k_1 & 0 \end{bmatrix} \begin{bmatrix} x_1 \\ x_2 \end{bmatrix} + \begin{bmatrix} 0 \\ u_1^* \end{bmatrix} \quad (3.14)$$

なる倒立振り子系のサブシステムと、

$$\begin{bmatrix} \dot{x}_3 \\ \dot{x}_4 \end{bmatrix} = \begin{bmatrix} 0 & 1 \\ -k_4 & 0 \end{bmatrix} \begin{bmatrix} x_3 \\ x_4 \end{bmatrix} + \begin{bmatrix} 0 & 0 \\ k_3 & 0 \end{bmatrix} \begin{bmatrix} x_1 \\ x_2 \end{bmatrix} + \begin{bmatrix} 0 \\ u_2^* \end{bmatrix} \quad (3.15)$$

なる振り子系のサブシステムとに分離される。また倒立振り子系(3.14)式において、 u_1^* は微小となるので股トルクMは系に対してほとんど影響することなく、系は初期状態のみで定まる運動となる。これは、腰部質量に対して脚部の質量が微小であるため、脚の運動は腰部の運動にほとんど影響を与えないという MW-2 の構造によるものである。

(3.14)式の状態方程式の相平面軌跡を Fig.3.2 に示す。Trajectory A は静止状態から歩行開始するときの軌道であり、両脚支持相において後脚を徐々に伸ばし、 $x_1=0, x_2$ 微小の状態において片脚支持に切替えた場合である。本論文における歩行制御アルゴリズムはこの軌道を採用する。Trajectory B は定常連続歩行の場合の軌道である。実線は支持脚交換が瞬時になされ、かつ遊脚接地時にエネルギー損失が全くないと仮定した場合の軌道である。破線は遊脚接地時のエネルギー損失を考えた場合であり、定常歩行を続けるためには両脚支持相において後脚を蹴る等の方法により損失エネルギーを補う必要がある。歩行速度はこの蹴りの量によって制御できる。

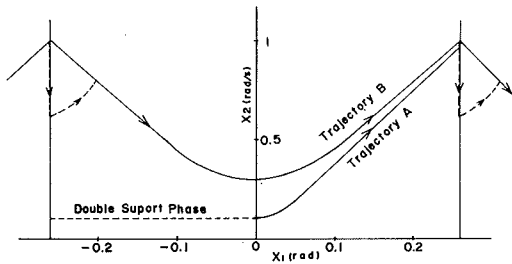


Fig.3.2 Phase plane trajectory

4. 歩行制御システム

MW-2 の歩行制御系は Fig.4.1 に示すような階層構造となっている。制御系は大きく3つの階層に分けられている。第一の階層は、歩行速度、歩幅、始動・停止等の歩容の決定に携わる。本研究においては、この階層は人間が担当する。第2の階層は、第1の階層により指定された歩容を満足させるための各アクチュエータに対する設定入力（目標値）を決定する。最後の第3の階層は、第2の階層によって決定された目標値に追従するサーボ系である。

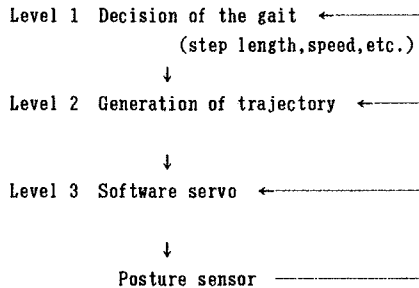


Fig.4.1 Hierarchy control system

二足歩行ロボットのように多入力多出力であり、また多数のアクチュエータの高度な協調動作が必要となる制御系においては、上述のような階層制御系を構成することは有効なことである。さらに、第3の階層においてはソフトウェア・サーボを構成するので各アクチュエータに対して最適なサンプリング周期を選び、またコンピュータの計算負荷を軽減するために各アクチュエータに各々プロセッサを配置するmulti-CPU システムが最適であ

る。しかし、本研究においてはシステムの制約上1つのCPUで処理することとし、CPUの利用効率を上げるためmulti-task処理を行うこととした。各taskの機能を次に示す。

- task 1 サンプリング周期管理
- task 2 フィードバック・コントロール・・・階層3
- task 3 軌道の生成・・・・・・・・・・階層2
- task 4 マン・マシン・インターフェース・・・・階層1

なお、コンピュータ（Data General社製 Eclipse s/20）の計算能力により第3の階層のソフトウェア・サーボのサンプリング周期は20(ms)とした。

5. 歩行方法

5.1 歩行方法

歩行方法の概略は、両脚支持状態において前脚の長さは一定とし、後脚を徐々に伸ばし重心を前方に移動させ、後脚が床を離れた瞬間から後脚（遊脚）を定められた角度だけ前方に振り出し、遊脚が接地した段階で一歩の歩行を完了とするものである。実験においては、股角度、遊脚長への目標値の与え方に対して以下に述べる3つのパターンを設定した。

パターンA

- 1) 両脚支持において静止した状態。両脚の長さは等しい。
- 2) 後脚を一定速度でゆっくりと伸ばし、重心を徐々に前方に移動させる。
- 3) 後脚が床を離れると同時に後脚（遊脚）を設定値まで縮める。股角度は固定。
- 4) 遊脚長が設定値に達した後、遊脚を前方に振り出す。
- 5) 股角度が設定値に達したならば遊脚を初期状態まで伸ばす。1歩の歩行完了。

パターンB

パターンAにおける3)と4)を同時に実行する。すなわち後脚が床から離れると同時に後脚を縮め、同時に前方へ振り出す。股角度の設定値は2段階とし、遊脚長さが設定値（交換可能な長さ）に達するまでは 0° 、その後は1歩分の角度である。

パターンC

パターンBにおける股角度の設定値を次式で与える。その他はパターンBと同様である。

[股角度の設定値] = [支持脚の接地角] × 4 - [1歩分の角度]

支持脚の接地角は片脚支持相に移行する瞬間において約0°であるので、股角度の設定値は1歩分の角度を θ_0 とすれば、 $-\theta_0$ から θ_0 へと連続的に変化する。

5.2 シミュレーション結果

片脚支持相においては動作は準静的に行われると仮定し、後脚の長さに対する股角度、重心を計算する。重心が前脚の接地点を越えた時点より片脚支持相に移行する。片脚支持相においては運動方程式に従い、解を Runge-Kutta-gill 法により解き、時間に対する歩行形状を得る。シミュレーションは遊脚が接地した時点で終了する。シミュレーション結果はパターンA, B, C共大きな差は見られないので、パターンBのものをFig.5.1に示す。遊脚の伸縮速度は十分である。股角度の即応性は十分とは言えないが、ほぼ満足できる。

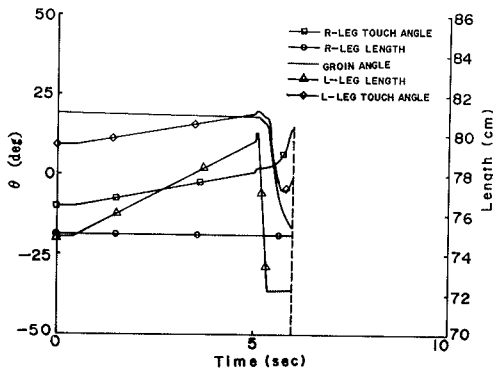


Fig.5.1 Simulation result for pattern B

6. 実験結果

歩行パターンA, B, C, 左脚支持の場合の各応答を Fig.6.1,6.2,6.3 に示す。

パターンAは、3つのアクチュエータを同時に操作することはないので、脚交換時に左右の脚が衝突することはないが脚の交換に最も時間がかかり、両脚支持相から片脚支持相に移行する時点の状態により、遊脚の振出しが間に合わなくなり前方へ転倒の危険性が生じる。

パターンBは、遊脚の縮小と振出しを同時に行うため、脚の交換に要する時間は最低であり、歩行の再現性は最も高い。

パターンCは、股関節サーボ系に対する設定入力ランプ状となり最も動きが滑らかになることが期待できるが、実験結果では歩幅が大きくなるが多かった。

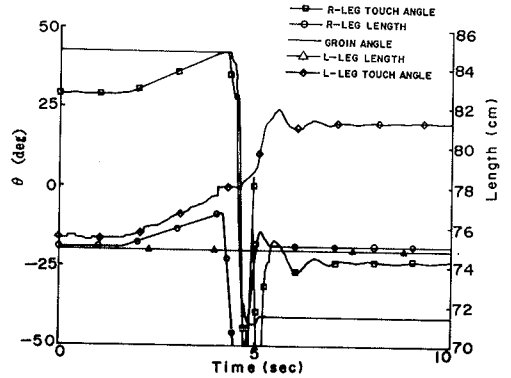


Fig.6.1 Experimental result for pattern A

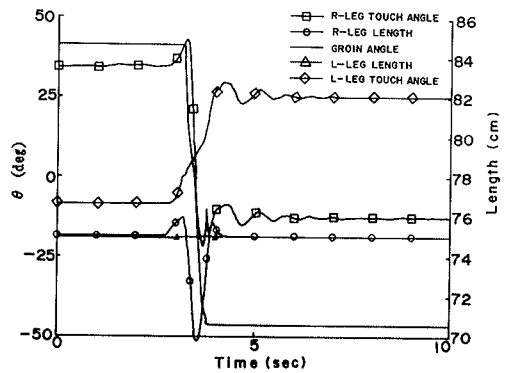


Fig.6.2 Experimental result for pattern B

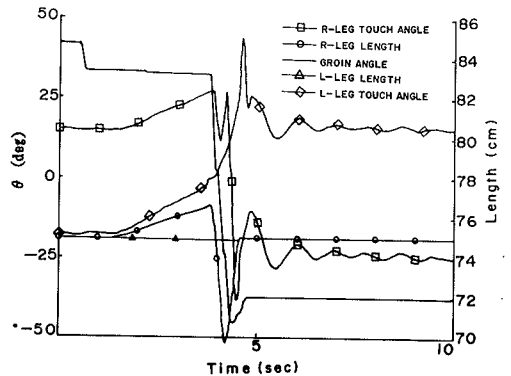


Fig.6.3 Experimental result for pattern C

各パターン共、始動時の姿勢、特に歩幅がある範囲に入っていれば、1歩分に関してはほぼ完全に再現性が保証でき、その歩幅は約10~25(cm)であった。1歩後の歩幅がこの範囲内であれば、連続歩行が可能である。パターンBにおいては3~4歩の連続歩行が実現できた。それ以上は配線ケーブルおよび滑り防止の床マットの大きさの制約により不可能である。

7. むすび

モータ等の重量物を上部にまとめ、脚部の質量を極力小さくした試作2号機により、断続的ながら3歩以上の歩行が実現でき、また実験の再現性も十分であった。今回の歩行方法は連続歩行における第1歩目のものと言う事ができ、1歩の歩行の後、接地の衝撃による振動が減衰するのを待ってから次の歩行に移っている。歩行実験中、片脚支持相に移る瞬間の初期速度が過大な場合、または遊脚接地時の歩幅が過小な場合、時折、前方へ倒れそうになるという現象が見られた。このことから、初期速度を増大させ、それに応じて遊脚の振出し速度・振出し角度を制御すれば、真の意味での連続歩行も可能と思われる。ただ足首トルクの利用できない竹馬形歩行においては、支持脚長により多少の制御は可能であるものの、片脚支持相における運動はほとんどその初期条件のみにより決定されるため、支持脚変換時においてより精密な制御が要求される。

今後は、姿勢を感知するための平衡感覚および視覚セ

ンサを備えた二足歩行ロボットおよび連続歩行機械の開発が課題である。

最後に、製作に当り御援助いただいた本学実習工場の方々、並びに協力された卒研生の児玉尚昭（(現)興和㈱）、南都弘之（(現)三田工業㈱）の両君に感謝の意を表す。

[文献]

- 1) M.Vukobratovic,(加藤,山下訳), 歩行ロボットと人工の足, 日刊工業新聞社(1975)
- 2) バイオメカニズム学会編, バイオメカニズム1~3, 東大出版会(1972~1975)
- 3) H.Hemami and R.L.Farnsworth, Postural and Gait Stability of a Planar Fivelink Biped by Simulation, IEEE Trans. On Automatic Control, AC-22-3, 452/458(1977)
- 4) 宮崎・有本, 二足歩行のダイナミックスの制御理論的考察, 計測自動制御学会論文集, 14-4,428/433 (1978)
- 5) C.L.Golliday Jr. and H.Hemami, An Approach to Analyzing Biped Locomotion Dynamics and Designing Robot Locomotion Controls, IEEE Trans. On Automatic Control, AC-22-6,963/972(1977)
- 6) 佐々木, 伸縮脚式二足歩行ロボットのシミュレーションと歩行実験, 鳥取大学大学院工学研究科 修士論文(1984)